

|                           |         |      |                        |        |      |
|---------------------------|---------|------|------------------------|--------|------|
| Vulnérabilité naturelle : | Aucune  | 0 *1 | Protection effective : | Aucune | 3 *1 |
| Menaces anthropiques :    | Faibles | 1 *1 |                        |        |      |

|                                 |  |                       |                         |     |
|---------------------------------|--|-----------------------|-------------------------|-----|
| Statut :                        | Protection physique :                    | Non                   | Protection juridique :  | Non |
| Nom du propriétaire :           | Propriétaires multiples                  | Nom du gestionnaire : | Gestionnaires multiples |     |
| Statut :                        | Anonyme                                  | Statut :              | Anonyme                 |     |
|                                 | Anonyme                                  |                       | Anonyme                 |     |
| Commentaire sur la protection : | Risque de modification du talus routier. |                       |                         |     |



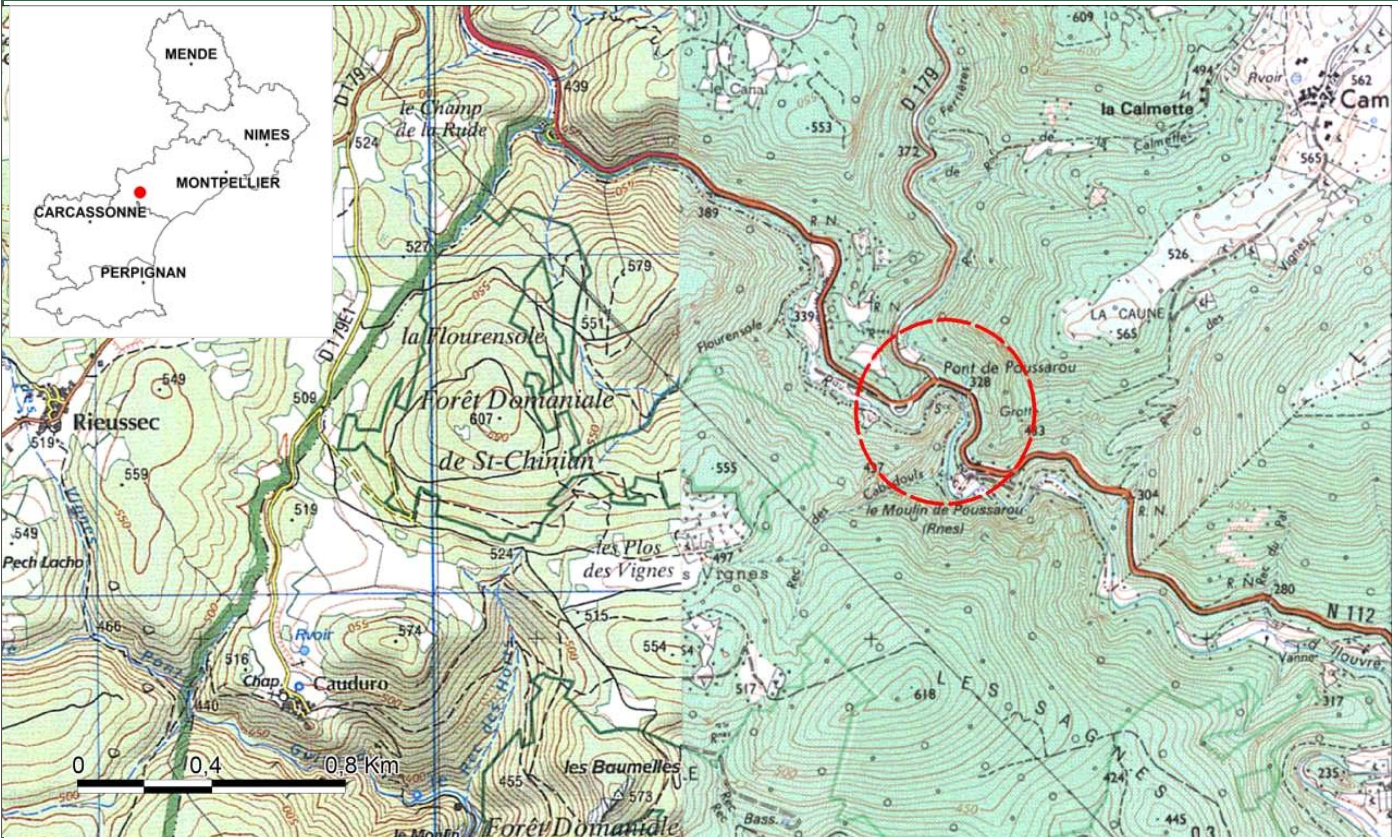
|   |                                      |   |            |  |
|---|--------------------------------------|---|------------|--|
| Bibliographie (voir la liste bibliographique pour les références complètes) : |                                      |   |            |  |
| LRO-0318B   | Courtessole R.                       | Le Cambrien moyen de la Montagne Noire. Biostratigraphie                        | 01/01/1973 |  |
| LRO-0285B   | Demange M.                           | Evolution tectonique de la Montagne Noire (France) : un modèle en transpressi   | 01/01/1999 |  |
| LRO-0306B   | Echtler H.                           | Les nappes du versant sud dans l'évolution tectonique varisque de la Montagne   | 01/01/1989 |  |
| LRO-0307B   | Echtler H., Malavieille J.           | Extensional tectonics basement uplift and Stephano-Permian collapse basin in t  | 01/01/1990 |  |
| LRO-0140B   | Gèze B.                              | Etudes géologiques de la Montagne Noire et des Cévennes méridionales            | 01/01/1949 |  |
| LRO-0047B   | Gèze B.                              | Guides géologiques régionaux : Languedoc méditerranéen - Montagne Noire         | 01/01/1995 |  |
| LRO-0308B   | Soula J.-C., Debat P., Brusset S. et | Thrust-related, diapiric, and extensional doming in a frontal orogenic wedge: e | 01/11/2001 |  |
| LRO-0142B   | Thoral M.                            | Contribution à l'étude géologique des Monts de Lacaune et des terrains cambri   | 01/01/1935 |  |

|                                       |                                 |        |              |
|---------------------------------------|---------------------------------|--------|--------------|
| Sites du pré-inventaire en relation : |                                 |        |              |
| LRO-0086                              | Gisement fossilifère de Ferrals | Public | Affleurement |

|   |         |           |          |                             |
|---|---------|-----------|----------|-----------------------------|
| M.                                      | FEIST   | Raimund   | LRO0020A | Qualité : Paléontologue     |
| Organisme : Université de Montpellier 2 |         |           |          |                             |
| Mme                                     | LE GOFF | Elisabeth | LRO0036A | Qualité : Géologue régional |
| Organisme : BRGM                        |         |           |          |                             |
| Mlle                                    | BAILLET | Laura     | LRO0023A | Qualité : Géologue          |
| Organisme : BRGM                        |         |           |          |                             |

Coupe du pont de Poussarou

intérêt patrimonial\*\*\*



| Département(s) : | Commune(s) :                                       | Coordonnées des noeuds d'emprise du site :   |       |              |              |   |        |         |   |        |         |   |        |         |   |        |         |
|------------------|--|--|-------|--------------|--------------|---|--------|---------|---|--------|---------|---|--------|---------|---|--------|---------|
| 34 Hérault       | 34021 BABEAU-BOULDOUX<br>34100 FERRIERES-POUSSAROU | <table><tr><th>Ordre</th><th>X(Lambert2e)</th><th>Y(Lambert2e)</th></tr><tr><td>1</td><td>645032</td><td>1828157</td></tr><tr><td>2</td><td>645032</td><td>1828707</td></tr><tr><td>3</td><td>645554</td><td>1828707</td></tr><tr><td>4</td><td>645554</td><td>1828157</td></tr></table> | Ordre | X(Lambert2e) | Y(Lambert2e) | 1 | 645032 | 1828157 | 2 | 645032 | 1828707 | 3 | 645554 | 1828707 | 4 | 645554 | 1828157 |
| Ordre            | X(Lambert2e)                                       | Y(Lambert2e)   |       |              |              |   |        |         |   |        |         |   |        |         |   |        |         |
| 1                | 645032   | 1828157  |       |              |              |   |        |         |   |        |         |   |        |         |   |        |         |
| 2                | 645032   | 1828707  |       |              |              |   |        |         |   |        |         |   |        |         |   |        |         |
| 3                | 645554   | 1828707  |       |              |              |   |        |         |   |        |         |   |        |         |   |        |         |
| 4                | 645554   | 1828157  |       |              |              |   |        |         |   |        |         |   |        |         |   |        |         |
| Lieu-dit :       |  |  |       |              |              |   |        |         |   |        |         |   |        |         |   |        |         |

|   |               |      |            |
|---|---------------|------|------------|
| Cartes concernées (Cartes topographiques ©IGN / Cartes géologiques ©BRGM) : |               |      |            |
| 25440   | SAINT-CHINIAN | 1014 | ST-CHINIAN |

|                        |  |          |     |                          |     |             |          |
|------------------------|--|----------|-----|--------------------------|-----|-------------|----------|
| Accessibilité :        | Difficile et Dangereuse  | Payant : | Non | Autorisation préalable : | Non | Ouverture : | Annuelle |
| Itinéraires :          | Depuis Bédarieux suivre la D16/D612 en direction de Saint Pons-de-Thomières. Le site se situe dans un virage, sur le talus du bord de la route, à environ 3,6 km après l'intersection avec la D177EB pour rejoindre le village de Babeau-Bouldoux. |          |     |                          |     |             |          |
| Description physique : | Le site, visible sur le talus du bord de route, est assez dangereux à observer du fait de la circulation. C'est un affleurement qui présente les séries renversées de la nappe du versant Sud de la Montagne Noire.                                |          |     |                          |     |             |          |



GEOLOGIE

Code GILGES: G      Structural, Structures tectoniques ou gravitaires principales

Unité litho-tectonique :

Flanc sud de de la Montagne Noire

Phénomène géologique :

Charriage

Niveau stratigraphique du phénomène      M Années :

Voir échelle stratigraphique page 3

Le plus ancien :

Viséen      345

Le plus récent :

Stéphanien      299

Niveau stratigraphique du terrain :      M Années :

Voir échelle stratigraphique page 3

Le plus ancien :

Cambrien      542

Le plus récent :

Ordovicien      444

Description géologique :

Le pont de Poussarou se situe dans la nappe de Pardailhan, une des nappes du versant Sud de la Montagne Noire. Elle est constituée d'une série cambro-ordovicienne le plus souvent en position renversée. L'ensemble de la nappe est parcouru par un système de failles et décrochements senestres orientés N30°E, du aux phases tardives du déversement. La nappe est structurée en trois grands plis couchés à cœur de Cambrien inférieur dont le synforme de Camplong-Poussarou. Dans le secteur de Poussarou, les unités cambro-ordoviciennes, en position inverse, appartiennent à ce grand pli couché d'axe WSW/ENE. En suivant la route, la série commence, à l'Ouest du pont et au pont lui-même, par le Cambrien inférieur marqué par de grandes barres de dolomies et de calcaires à Archaeocyathus. Au niveau du virage, au Sud du pont, cette série est stratigraphiquement surmontée par la formation de la Tanque comprenant des alternances centimétriques de calcaires bioclastiques rougâtres et d'argillites bruns ("schistes à trous") du Cambrien moyen basal (verticalisé). La série en contrebas du virage est constituée par des schistes à Paradoxides puis des grès du Cambrien moyen. Quelques lentilles calcaires fossilifères marquent la base du Cambrien supérieur. La série passe à l'Ordovicien au niveau de "La dentelle", un gros banc grés-quartzitique qui traverse la nationale à 1 km

INTERET PATRIMONIAL

Total : 36 /48

**Intérêt(s) géologique(s) principal(aux) :** Fort intérêt      3\*4

Tectonique

*Renversement bien visible de la série primaire dans une des nappes du versant Sud de la montagne noire. Secteur connu depuis très longtemps ayant apporté des éléments de compréhension de la mise en place des*

**Intérêts géologiques secondaires :**

Fort intérêt      3\*3

Hydrogéologie

Stratigraphie

**Intérêts pédagogiques :**

Fort intérêt      3\*3

Pour les étudiants

Pour les géologues

**Intérêts annexes :**

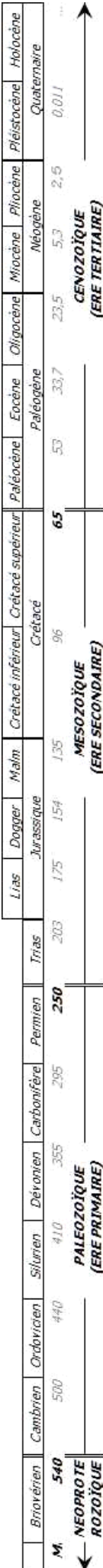
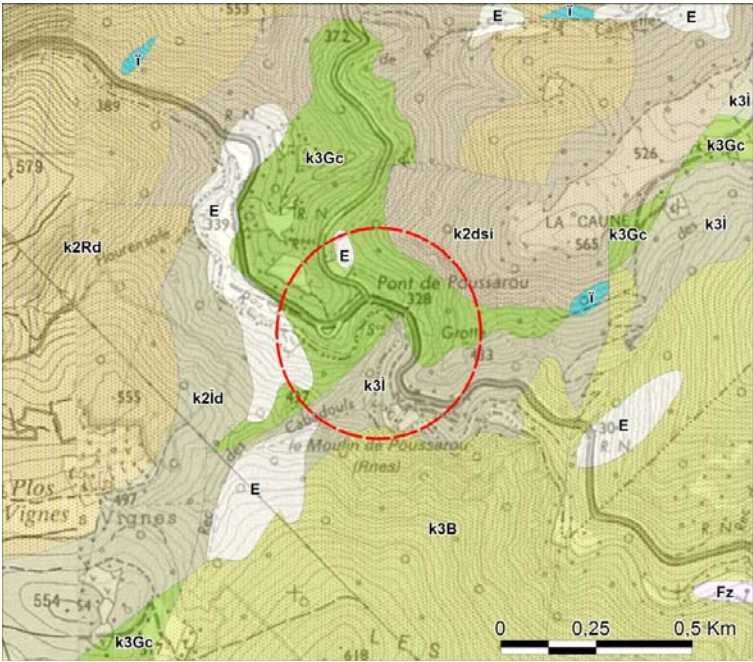
Archéologie

**Intérêt pour l'histoire de la géologie :** Pas d'intérêt      0\*2 Pas d'intérêt évident pour l'histoire de la géologie.

**Conservation :** Bien conservé      2\*2 Bon état général

**Rareté** Régionale      1\*2

**Intérêt touristique et économique :** Site pittoresque.



COUPE ET LOG GEOLOGIQUES

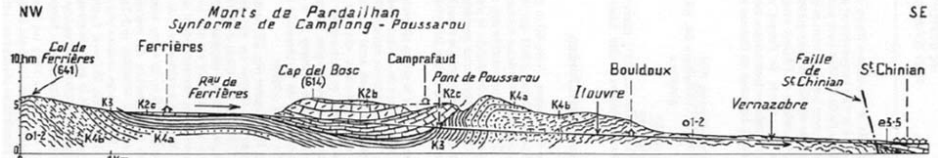


Fig. 25. - Coupes du chaînon de St. Chinian (en haut) et de la synforme de Camplong-Poussarou (en bas) [H x 1]. Les deux coupes se raccordent avec un décalage de 3 km entre St. Chinian et Combejean; elles suivent approximativement le trajet de la N 112 (itinéraire 3).

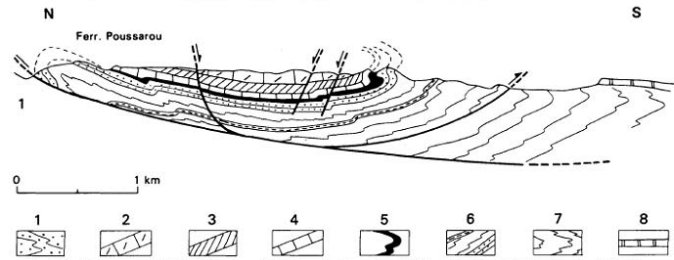
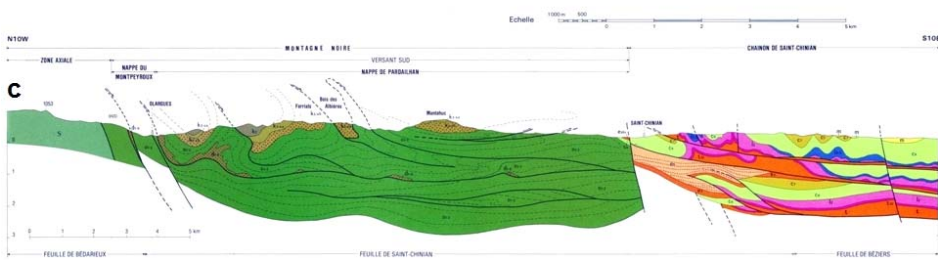


Fig. 11 - Coupes sériees d'Est en Ouest (1-6) des structures méridionales les plus élevées de la nappe de Pardailhan (Camplong - Poussarou). La coupe 1 est située sur la carte de Saint-Chinian avoisinante



a : Gèze B. (1995). Masson - b : Alabouvette B., Demange M. (1993). BRGM - c : Alabouvette B., Arthaud F., Berger G. et al. (1982). BRGM.

ICONOGRAPHIE



Vues sur les séries renversées des calcaires et dolomies du Cambrien inf. (a : en arrière plan,c), stratigraphiquement surmontée par les « schistes à trous » de la Formation de la Tanque (Cambrien moy. basal) (a : au premier plan à droite,b).